

# ГОЛОГРАФИЧЕСКИЙ ПРИНЦИП ОБМЕНА ИНФОРМАЦИЕЙ ВО ВСЕЛЕННОЙ НА ПРИМЕРЕ СЕТКИ ХАРТМАНА

Бельков В.А.

Бельков Владимир Анатольевич – радиофизик, пенсионер,  
г. Санкт-Петербург

**Аннотация:** в статье рассматривается возможность создания высокоскоростной связи во Вселенной, используя принцип сетки Хартмана или генератора Охатрина А.Ф. на основе голографической информации от микролептонных образований вокруг всех тел.

**Ключевые слова:** сетка Хартмана, голография, продольные волны, связь, витон, микролептон.

Устройство Юнга.

Для получения интерференции от двух световых источников экспериментальная установка Юнга имеет вид как показано на Рис. 1. Точечное отверстие  $P_0$  освещено параллельным пучком света. Сферическая волна, возникающая при дифракции на отверстии  $P_0$ , падает на расположенный на некотором расстоянии непрозрачный экран с двумя одинаковыми отверстиями  $P_1$  и  $P_2$ . Эти отверстия вырезают небольшие участки волнового фронта, в результате образуются две вторичные согласованные по фазе сферические волны. Получается, что на экране  $S$ , который помещен параллельно первому экрану, в том месте, где волны перекрываются, наблюдаются чередующиеся светлые и темные интерференционные полосы [1].

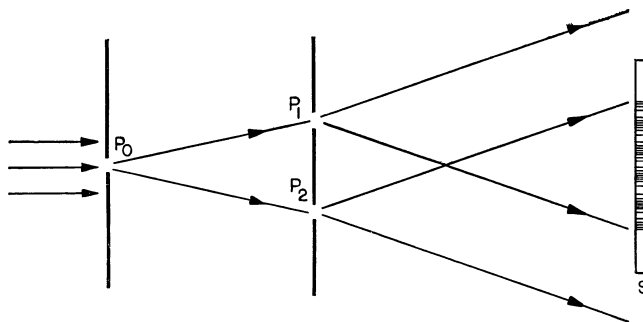


Рис. 1. Схема опыта Юнга

Получение голограмм тесно связано с таким способом наблюдения волновых свойств света, поскольку производится регистрация интенсивности светлых и темных полос, возникающих в месте пересечения когерентных световых волн. Пространственное распределение интенсивности, получаемое при этом, называется интерференционной картиной или картиной стоячих волн. Последнее название связано с тем, что пространственное распределение интенсивности полос остается постоянным во времени. Именно благодаря этому возможно наблюдать интерференционные полосы в эксперименте Юнга, а также измерять их интенсивность и расстояние между ними.

Интерференция двух волн

Голография обычно имеет дело с интерференцией двух волн: предметной волной и опорной волной. Интенсивность  $I$  в любой точке интерференционной картины, образованной двумя волнами  $I_1$  и  $I_2$ , является суммой интенсивностей отдельных волн плюс интерференционный член. В этом не зависящем от времени интерференционном члене содержится информация о разности фаз.

$$I = I_1 + I_2 + 2 a_1 a_2 \cos(\varphi_2 - \varphi_1) \quad (1)$$

Из выражения (1) видно, что только параллельные друг другу векторные волновые компоненты могут создать интерференционные картины (или голограммы).

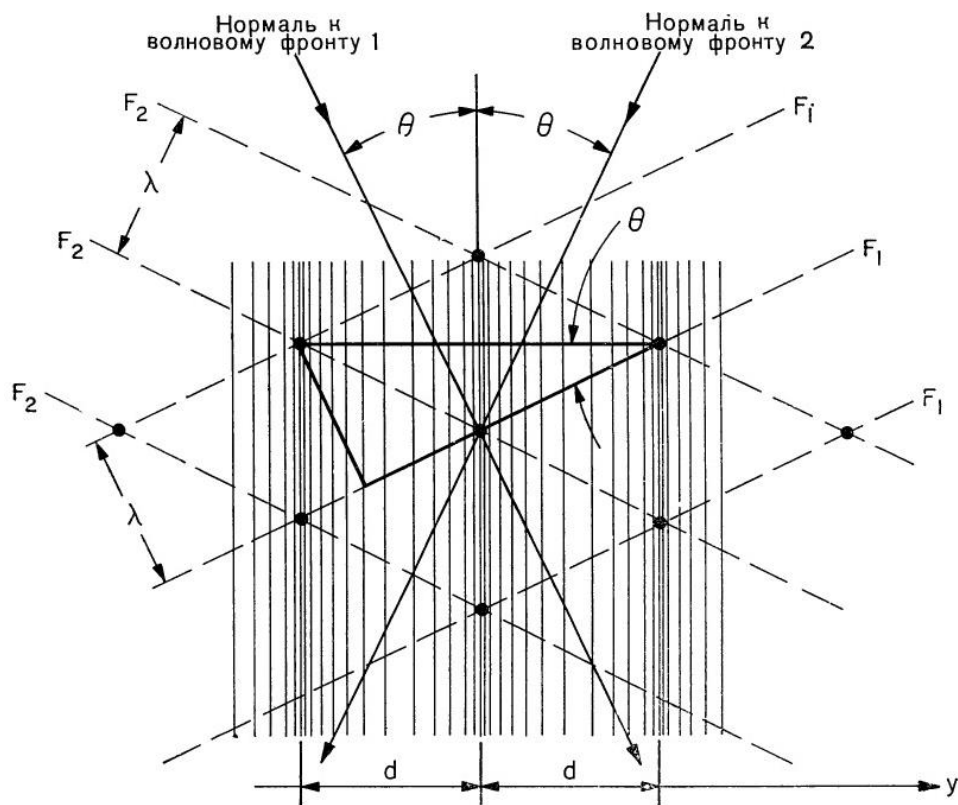


Рис. 2. Структура интерференционной картины, образующейся при пересечении двух плоских волн [1]

Согласно источнику [1] предположим, что плоские волны исходят от одинаковых абсолютно когерентных источников и пересекаются под углом  $2\theta$  как показано на Рис. 2. Для таких волн точки постоянной фазы лежат в одной плоскости (плоский волновой фронт). Для упрощения чертежа на нем представлены только положительные максимумы амплитуды, или гребни волновых фронтов  $F_1$  и  $F_2$  нормальных к плоскости чертежа. Эти максимумы расположены на расстоянии длины волны  $\lambda$  друг от друга. Следы пересечения этих фронтов с плоскостью чертежа изображены пунктирными линиями. Две системы периодически расположенных линий представляют последовательный ряд волновых фронтов в каждом волновом наборе. Волновые нормали 1 и 2, находящиеся в плоскости чертежа, перпендикулярны к фронтам и указывают направление распространения волн. Линии пересечения плоскостей  $F_1$  и  $F_2$  перпендикулярны плоскости чертежа. На этих линиях, положение которых отмечено жирными точками, гребни волн складываются. Поскольку волны распространяются в направлении их нормалей, линии пересечения волновых фронтов движутся, образуя плоскости максимальной результирующей амплитуды, которые делят пополам угол между волновыми нормальями. Эти плоскости нормальны к плоскости чертежа и локализованы там, где частота вертикальной штриховки максимальна. Усредненный по времени квадрат результирующей амплитуды, т. е. интенсивность, также максимален вдоль этих линий или полос. Такие плоскости являются местом интерференции всех волн, для которых в выражении (1)  $\phi_2 - \phi_1 = 2\pi n$ ;  $n = 0, 1, 2, \dots$  Если принять во внимание и другие разности фаз, при которых происходит сложение амплитуд, то приходим к синусоидальному распределению интенсивности в интерференционной картине по направлению  $Y$ . Это показано плотностью вертикальной штриховки. Рассматривая треугольник, изображенный жирными линиями легко установить, что период синусоидального распределения интенсивности описывается формулой

$$2d \sin \theta = \lambda \quad (2)$$

Биологическое излучение.

Витонное (биологическое) излучение тоже подобно световому излучению сферической волны электронного излучения (света), однако его скорость в нашем пространстве  $4C$  (четыре скорости света). Если представить, что луч света запустили внутрь полупрозрачной и частично отражающей сферы с длиной окружности 40.000 км, то луч света за секунду успеет 7,5 раз, а витонного излучения 30 раз обогнуть эту сферу, многократно испытывая преломление и интерференцию излучения. Поскольку это сфера, и свет идёт во всех направлениях, вдоль и поперёк, то рано или поздно всё излучение придет в равновесное состояние, при котором его интерференционная картина на внутренней сфере коры Земли даст СЕТКУ «СТОЯЧИХ» ВОЛН ИЗЛУЧЕНИЯ.

Поле витонного излучения влияет только на живую природу. Более того версию интерференции витонного излучения на внутренней поверхности сферы коры Земли подтверждает ещё и то, что оно не одинаково интенсивно по основным азимутам – на Юге средняя интенсивность витонного излучения втрое

выше, чем по остальным сторонам света. Кору планеты изнутри подстилает 77-метровый "ватный" слой пепла, как раз на границе твердой коры и газовой мантии – это как раз зона множественного отражения, преломления и интерференции витонного излучения.

Схематичный рисунок «стоячей» волны Рис. 3

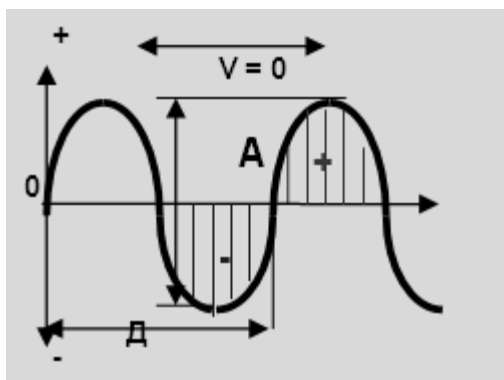


Рис. 3. Стоячая волна [2]

Верхняя полуволна («горб») имеет знак плюс «+», а нижняя («впадина») – знак минус «-». Точно так же и сетка Хартмана – зона положительной «стоячей» витонной волны дает правостороннее витонное поле по знаку «+», полезное человеку, а отрицательная «впадина» - левостороннее поле, вредное для человека.

#### Интерференция четырех волн.

Для интерпретации сетки Хартмана предположим, что имеем четыре волны: две по две, но расположенные попарно перпендикулярно друг другу. При соблюдении попарных условий волновых характеристик (как было указано выше) для двух волн получаем интерференционную картину Рис. 4.

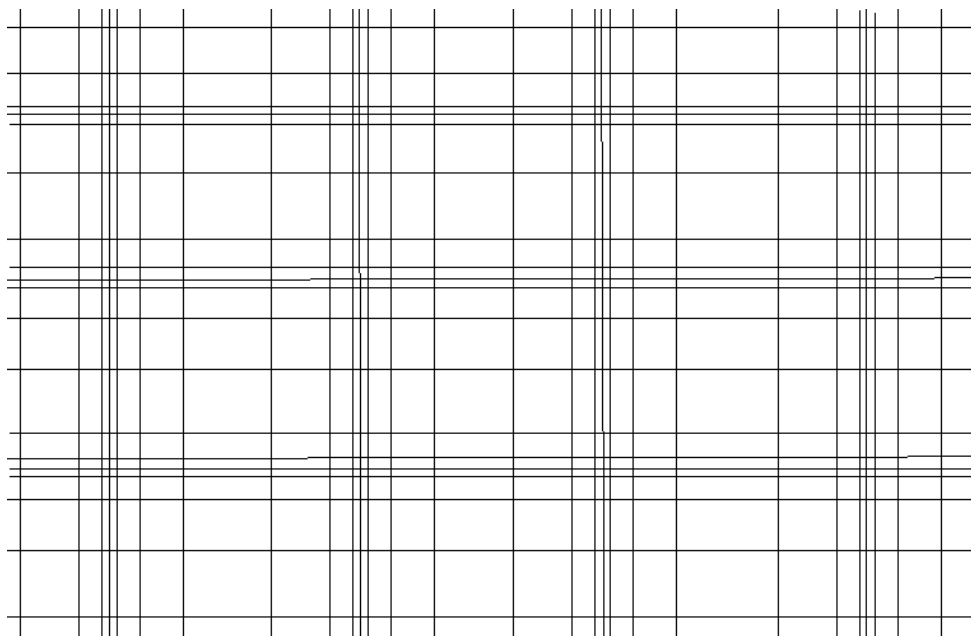


Рис. 4. Интерференция четырех попарно перпендикулярных стоячих волн (авторский рисунок)

В таком случае можем предположить при наличии четырех когерентных источников внутри Земли (витонного излучения по [2]) образование стоячих волн на поверхности Земли, известных как сетка Хартмана с размерами примерно 2,5 x 2.0 метров с ориентацией на Север перпендикуляра к большей стороне параллельно поверхности Земли. Растягивает сетку с запада на восток влияние вращающегося магнитного поля Земли, поскольку магнитное поле подобно витонному, только частоты разные.

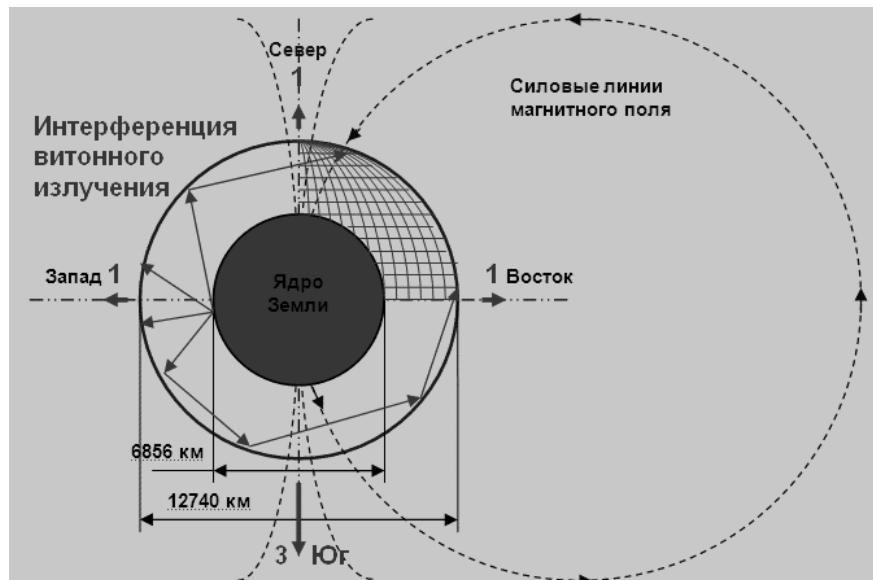


Рис. 5. Формирование сетки Хартмана [2]

Высокочастотные излучения, проникающие сквозь породу по своим свойствам подобны высокочастотным электрическим токам в части распространения в проводнике, т.е. концентрируется непосредственно у поверхности проводника. И если высокочастотный ток течёт по поверхности провода, то и высокочастотное витонное излучение концентрируется именно в верхней части земной коры, в 12-метровом слое из десятков километров толщины материковой плиты. Ниже сетка не регистрируется. Теперь несложно понять, что при прохождении сквозь породы земной коры витонное излучение претерпевает искажения от влияния как материала самих пород, так и наличия пустот, трещин, воды и т.п. Иными словами – витонное излучение по сетке Хартмана несёт в себе информацию по составу и строению этих пород, и эту информацию можно считать [2]. Точно так же оно преломляется в зданиях и сооружениях, что необходимо учитывать архитекторам при проектировании зданий, особенно жилых, и строителям при «привязке» координат будущего строительства на местности.

А понять природу суточного «дыхания» сетки Хартмана и вовсе несложно, коль поняли её природу: Солнце – тоже источник витонного излучения, и сетка Хартмана просто обязана на него реагировать усилением своих значений по интенсивности излучения.

С помощью сетки Хартмана происходит также считывание информации в виде голограммы о любом объекте, оказавшемся в ячейке 2,5х2,0 метра, и затем передается в информационный центр Земли. Голограмма подвергается обратному преобразованию Фурье, и уже в виде сигнала (оцифрованного) проходит соответствующую обработку для извлечения информации.

На этом принципе можно построить мгновенную связь между любыми объектами на поверхности Земли, в том числе между людьми.

Микролептон.

В 1989 году в «Докладах Академии наук» появилась статья Анатолия Федоровича Охатрина об открытии новой частицы, которую он назвал «микролептон». Ученый в ходе экспериментов пришел к выводу, что все предметы материального мира окружены полями из сверхлегких частиц. Ими заполнены все среды и живые системы. Частицы несут информацию о составе и структуре тел [3]. По всем признакам микролептон является витоном по определению Бабикова Ю.А.

Созданный в лаборатории А. Охатрина действующий макет генератора и приемника микролептонов доказывает принципиальную возможность связи на продольных волнах.

Расчеты и эксперименты показывают, что возможен принципиально новый вид связи: между генератором и приемником возникает тонкий жгут из микролептонов, который невозможно оборвать. Он будет тянуться за приемником, куда бы его не уносили, за какими бы дверями и стенами не пытались спрятать. По микролептонному жгуту информация передается, не ослабевая, на любые расстояния.

Считывание информации у фотографии.

Сначала исследователи просто посылали луч лазера в мишень. И потом расшифровывали электромагнитные сигналы, которые вызывали эти удары. ЭВМ чертила графики, похожие друг на друга. Но когда луч стали пропускать над фотографией, графики стали совсем другими: вместо плавных кривых – резкие зигзаги. Ученые исследовали множество фотографий – над всеми луч лазера начинал плясать, словно наткнулся на невидимые препятствия. Значит над снимками действительно есть невидимые глазу структуры, которые вполне различимы для прибора.

Петр Петрович Гаряев одним из первых с помощью лазера сумел оцифровать в звук микролептонные (витонные) поля, существующие над фотографиями [5]. По амплитудам сигналов возможно определение информационных составляющих посредством соответствующих преобразований.

Фотографии египетских пирамид и Сфинкса, сделанные с земли.

Одну фотографию пересекают светлые полосы, похожие на слоистые облака. На другой - закручивающиеся в спирали вихри. А на третьей - словно полыхает пожар. По мнению ученых, это снимки микролептонных структур пирамид и Сфинкса. Их получили в разное время с одной и той же фотографии двадцатилетней давности. Оказалось, что фотография живет: ее излучение постоянно меняется, отражая события, которые происходят вокруг пирамид. Кровавые войны, экологические катастрофы, геологические катаклизмы и другие потрясения накладывают свой неизгладимый отпечаток на микролептонные структуры древних сооружений и несут информацию обо всем, что было, есть и будет [4].

**ВЫВОДЫ.**

Появляется возможность создания высокоскоростной связи во Вселенной, используя принцип сетки Хартмана или генератора Охатрина А.Ф. Это позволит совершить значительный рывок в развитии человечества.

#### ***Список литературы***

1. *Кольер Р., Беркхарт К., Лин Л.* Оптическая голография. Издательство «МИР», 1973.
2. [Электронный ресурс]. Режим доступа: <https://prajt.livejournal.com/57579.html/> (дата обращения: 17.06.2020).
3. [Электронный ресурс]. Режим доступа: <http://interwiki.info/index.php?title/> (дата обращения: 17.06.2020).
4. [Электронный ресурс]. Режим доступа: <http://prometheus.al.ru/phil/materdusha.htm/> (дата обращения: 17.06.2020).
5. [Электронный ресурс]. Режим доступа: <http://wavegenetics.org/> (дата обращения: 17.06.2020).